

# МЁССБАУЭРОВСКИЕ ИССЛЕДОВАНИЯ СВЕРХТОНКИХ ВЗАИМОДЕЙСТВИЙ ЯДЕР $^{57}\text{Fe}$ и $^{119}\text{Sn}$ В СИСТЕМЕ $\beta\text{-Mn}_{18}\text{Sn}_{2-x}\text{Fe}_x$

**В. С. Русаков, А. С. Илюшин, А. С. Виноградова, И. А. Никанорова, В. М. Черепанов\***

(кафедра общей физики; кафедра физики твердого тела)

Методами мёссбауэровской спектроскопии на ядрах  $^{57}\text{Fe}$  и  $^{119}\text{Sn}$  исследованы сплавы  $\text{Mn}_{18}\text{Sn}_{2-x}\text{Fe}_x$  ( $x = 0,0 \div 2,0$ ) со структурой  $\beta$ -Мн. Проведен анализ зависимости параметров сверхтонких взаимодействий ядер  $^{57}\text{Fe}$  и  $^{119}\text{Sn}$  в различных неэквивалентных позициях структуры от радиуса первой координационной сферы. Рассмотрены механизмы формирования сверхтонких электрических взаимодействий ядер  $^{57}\text{Fe}$  и  $^{119}\text{Sn}$ . Показано, что электронная структура в сплавах системы  $\beta$ -Мн–Sn–Fe имеет в существенной мере ковалентный характер.

## **Введение**

В настоящее время можно считать установленным, что при введении малого количества немагнитной примеси в парамагнитную матрицу  $\beta$ -Мн при низких температурах возникает магнитоупорядоченное состояние типа спинового стекла [1–3]. Однако механизмы магнитного упорядочения  $\beta$ -марганца и его сплавов по-прежнему остаются невыясненными. Существенную роль в изучении этих механизмов может сыграть информация об атомном распределении и локальной электронной структуре сплава.

В случае твердых растворов замещения, в которых в качестве компонентов выступают атомы железа и олова, одним из эффективных методов исследования является мёссбауэровская спектроскопия. С помощью методов мёссбауэровской спектроскопии сплавы системы  $\beta$ -Mn–Sn–Fe изучались неоднократно (см., напр., [1–11]). Сравнительно недавно удалось достоверно определить локальное распределение атомов Fe и Sn в этих сплавах и идентифицировать парциальные мёссбауэровские спектры, отнеся их к различным неэквивалентным позициям структуры [3, 9–11]. Удалось также показать, что локальное распределение атомов влияет на электронную структуру и магнитное состояние сплавов [3]. В то же время данные по сверхтонким взаимодействиям ядер  $^{57}\text{Fe}$  и  $^{119}\text{Sn}$ , которые, собственно, и несут в себе информацию о локальной электронной структуре, обсуждались мало и практически не анализировались.

В данной работе с помощью методов мёссбауэровской спектроскопии исследовались сверхтонкие взаимодействия ядер  $^{57}\text{Fe}$  и  $^{119}\text{Sn}$  в сплавах системы  $\beta$ -Mn<sub>18</sub>Sn<sub>2-x</sub>Fe<sub>x</sub>.

## **Результаты и их обсуждение**

Образцы сплавов Mn<sub>18</sub>Sn<sub>2-x</sub>Fe<sub>x</sub> заданного состава ( $x = 0,00; 0,25; 0,50; 0,75; 1,00; 1,25; 1,50; 1,75$  и 2,00) приготавлялись по методике, подробно описанной в работах [9–11]. В этих же работах изложены используемые нами методы рентгеновского дифракционного анализа и мёссбауэровской спектроскопии.

Рентгеновский фазовый анализ показал, что все сплавы однофазны и обладают структурой, изотипной  $\beta$ -модификации марганца. При замещении атомов Sn на атомы Fe параметр элементарной ячейки практически линейно уменьшался, и при полном замещении его изменение составило приблизительно 3%. Это позволяло рассчитывать, что в отличие от ранее исследованных нами систем, в которых атомы Fe замещали атомы другого переходного металла Mn [9, 11], мы обнаружим более выраженную концентрационную зависимость сверхтонких параметров спектра — сдвиг  $\delta$  и квадрупольного смещения  $\epsilon$ .

Снятые при комнатной температуре мёссбауэровские спектры ядер  $^{57}\text{Fe}$  для всех сплавов исследованной системы оказались парамагнитного типа, состоящими в общем случае из трех квадрупольных дублетов (рис. 1). Как показано нами в работе [11] на образцах сплавов системы Mn<sub>19,3-x</sub>Sn<sub>0,7</sub>Fe<sub>x</sub>, наблюдавшиеся парциальные спектры относятся к атомам железа, расположенным в позициях 8(c) с атомами Fe и Mn в ближайшем окружении, в позициях 8(c) с одним атомом олова в первой координационной сфере и в позициях 12(d). При этом дублет с наибольшим квадрупольным смещением  $\epsilon$  относится к позициям 12(d), а дублет с наименьшим сдвигом  $\delta$  линии — к позициям 8(c) (см. рис. 1).

В табл. 1 представлены результаты расшифровки мёссбауэровских спектров ядер  $^{57}\text{Fe}$  в системе Mn<sub>18</sub>Sn<sub>2-x</sub>Fe<sub>x</sub> — сдвиги  $\delta$  и квадрупольные смещения  $\epsilon$  компонент парциальных спектров, соответствующих атомам железа в позициях 8(c), 8(c)(Sn) и 12(d). Отметим несколько фактов, требующих обсуждения.

Сдвиг мёссбауэровской линии  $\delta$ : для позиций 12(d) сдвиг  $\delta$  на 0,20–0,23 мм/с больше сдвига для позиций 8(c) в окружении атомов только переходного металла; появление в ближайшем окружении атома Fe, находящегося в позиции 8(c), атома Sn вместо атома переходного металла увеличивает сдвиг  $\delta$  на 0,24–0,28 мм/с; при замещении атомов олова на

\* Российский научный центр «Курчатовский институт».

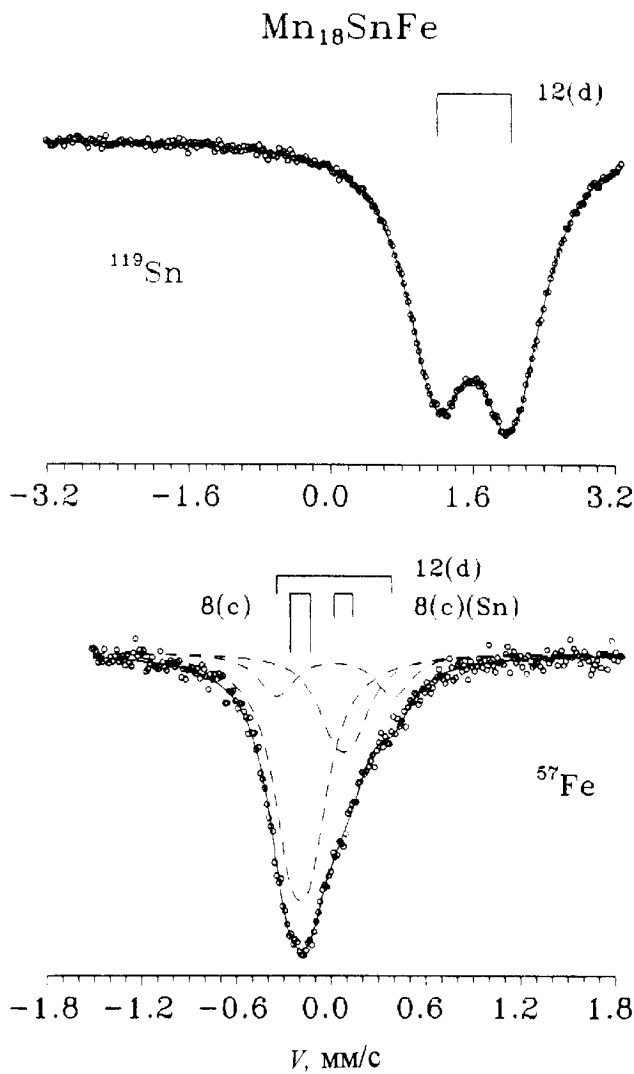


Рис. 1. Мёссбауэрские спектры ядер  $^{57}\text{Fe}$  и  $^{119}\text{Sn}$  в сплаве  $\beta\text{-Mn}_{18}\text{SnFe}$

атомы железа сдвиги всех парциальных спектров уменьшаются.

Квадрупольное смещение  $\varepsilon$  компонент спектра: величина квадрупольного смещения  $\varepsilon$  для позиций 12(*d*) приблизительно в 6 раз больше величины квадрупольного смещения для позиций 8(*c*); появление в ближайшем окружении атома Fe, находящегося в позиции 8(*c*), атома Sn вместо атома переходного металла практически не меняет величину квадрупольного смещения; при замещении атомов олова на атомы железа величина квадрупольного смещения для позиций 12(*d*) уменьшается.

Мёссбауэрские спектры ядер  $^{119}\text{Sn}$  всех исследованных сплавов представляли собой, как и для сплавов системы  $\text{Mn}_{19,3-x}\text{Sn}_{0,7}\text{Fe}_x$  [11], несколько асимметричный квадрупольный дублет (см. рис. 1). Видимая асимметрия мёссбауэрского квадрупольного дублета была тщательно исследована нами в работе [11], где было показано, что причиной асимметрии является эффект Гольданского–Карягина, обусловленный анизотропией динамических свойств ядер  $^{119}\text{Sn}$  в позициях 12(*d*) структуры  $\beta\text{-Mn}$ .

Таблица 1  
Параметры сверхтонкого взаимодействия ядер  $^{57}\text{Fe}$   
в позициях 8(*c*), 8(*c*(Sn)) и 12(*d*) в системе  $\text{Mn}_{18}\text{Sn}_{2-x}\text{Fe}_x$

$x$	8( <i>c</i> )		8( <i>c</i> (Sn))		12( <i>d</i> )	
	$\delta$ , мм/с	$\varepsilon$ , мм/с	$\delta$ , мм/с	$\varepsilon$ , мм/с	$\delta$ , мм/с	$\varepsilon$ , мм/с
0,00	—	—	—	—	—	—
0,25	-0,174(6)	0,053(0)	0,113(13)	0,053(0)	0,043(28)	0,382(27)
0,50	-0,193(4)	0,053(0)	0,075(6)	0,053(0)	0,035(14)	0,348(14)
0,75	-0,207(6)	0,050(6)	0,050(14)	0,070(8)	0,001(11)	0,374(12)
1,00	-0,196(7)	0,065(5)	0,078(17)	0,059(14)	0,022(10)	0,370(11)
1,25	-0,202(6)	0,059(6)	0,065(17)	0,053(18)	0,026(10)	0,355(12)
1,50	-0,213(10)	0,055(7)	0,016(40)	0,053(30)	-0,014(7)	0,344(8)
1,75	-0,213(5)	0,057(3)	0,038(36)	0,058(28)	-0,015(6)	0,340(7)
2,00	-0,221(1)	0,053(2)	—	—	-0,017(5)	0,325(5)

Таблица 2  
Параметры сверхтонкого  
взаимодействия ядер  $^{119}\text{Sn}$   
в позиции 12(*d*)  
в системе  $\text{Mn}_{18}\text{Sn}_{2-x}\text{Fe}_x$

$x$	$\delta$ , мм/с	$\varepsilon$ , мм/с
0,00	1,615(1)	0,394(1)
0,25	1,614(1)	0,398(1)
0,50	1,613(1)	0,404(1)
0,75	1,614(2)	0,408(1)
1,00	1,612(2)	0,413(1)
1,25	1,611(2)	0,422(1)
1,50	1,614(2)	0,423(1)
1,75	1,608(3)	0,429(2)
2,00	—	—

Результаты расшифровки мёссбауэрских спектров ядер  $^{119}\text{Sn}$  в сплавах системы  $\text{Mn}_{18}\text{Sn}_{2-x}\text{Fe}_x$  — сдвиги  $\delta$  и квадрупольные смещения  $\varepsilon$  компонент спектров, соответствующих атомам олова в позициях 12(*d*), — представлены в табл. 2. Заметим, что при полном замещении атомов олова на атомы железа наблюдается заметное возрастание величины квадрупольного смещения  $\varepsilon$  на  $\sim 0,041$  мм/с и некоторое уменьшение сдвига  $\delta$  (на  $\sim 0,005$  мм/с).

Если предположить, что внутренние параметры структуры исследованных сплавов такие же, как и у чистого  $\beta\text{-Mn}$  [12], то, зная параметр элементарной ячейки, для каждой из кристаллографически неэквивалентных позиций, 8(*c*) и 12(*d*), можно рассчитать среднее расстояние до ближайшей координационной сферы  $\bar{r}_{8(c)}$  и  $\bar{r}_{12(d)}$ . На рис. 2–4 представлены зависимости параметров сверхтонких взаимодействий ядер  $^{57}\text{Fe}$  и  $^{119}\text{Sn}$  от среднего расстояния до ближайшей координационной сферы.

Как видно из рис. 2 и 3, сдвиг  $\delta$  и квадрупольное смещение  $\varepsilon$  для каждого из парциальных спектров

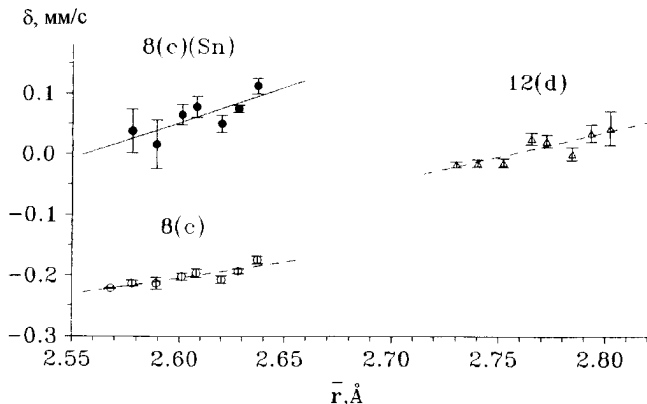


Рис. 2. Зависимости сдвигов линий  $\delta$  трех парциальных спектров ядер  $^{57}\text{Fe}$  от среднего радиуса 1-й координационной сферы

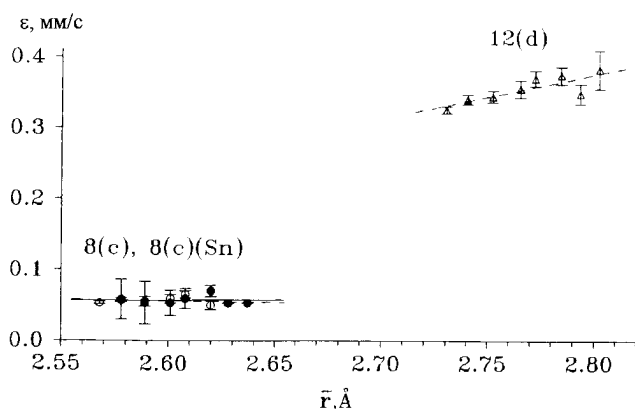


Рис. 3. Зависимости квадрупольных смещений  $\varepsilon$  компонент парциальных спектров ядер  $^{57}\text{Fe}$  от среднего радиуса 1-й координационной сферы

ядер  $^{57}\text{Fe}$  монотонно изменяются с увеличением радиуса первой координационной сферы. Сдвиги рас- тут с увеличением среднего расстояния до ближайших атомов переходного металла при полном замещении атомов Fe на атомы Sn на  $\Delta\delta \cong 0,04$  мм/с для позиций 8(c) и на  $\Delta\delta \cong 0,06$  мм/с для позиций 12(d). Если предположить, что такое изменение сдвигов связано с перераспределением 3d- и 4s-электронов в полосе проводимости при электронейтральности атома железа в целом ( $\Delta n_{3d} + \Delta n_{4s} \cong 0$ ) [13], то в рамках таких представлений изменение эффективного числа d-электронов на атоме Fe можно оце- нить, воспользовавшись данными работы [14]. При изменении состава от  $x = 0,0$  до  $x = 2,0$  это из- менение составит  $\Delta n_{3d} \cong 0,015$  для позиций 8(c) и  $\Delta n_{3d} \cong 0,021$  для позиций 12(d). Более крутая зависи- мость сдвига линии  $\delta$  от среднего радиуса первой координационной сферы в случае позиций 8(c)(Sn) ( $\Delta\delta \cong 0,08$  мм/с) связана, по-видимому, с дополнительным увеличением эффективного числа 3d-элек- тронов за счет переноса электронов с орбиталей ато- ма Sn в процессе замещения в сплавах системы ато- мов железа на атомы олова.

Разность в значениях сдвигов мёссбауэровских линий для атомов железа в позициях 8(c) и 12(d) (0,20–0,23 мм/с), как это видно на рис. 2, нельзя объ-

яснить только лишь различием в значениях средних радиусов первых координационных сфер. По-видимому, в данном случае существенную роль играет различный характер ближайшего окружения — разная точечная симметрия (для позиций 8(c) существует ось симметрии третьего порядка, а для позиций 12(d) — ось второго порядка), разное координационное число (для позиций 8(c) — 12, а для позиций 12(d) — 14) и разное число ближайших соседей из различных кристаллографически неэквивалентных позиций [15]. Смена характера ближайшего окружения, состоящего из атомов переходных металлов (Mn и Fe), так же как и изменение среднего радиуса первой координационной сферы, приводят к перераспределению электронов вблизи атома Fe по 3d- и 4s-орбиталям.

Замещение атома переходного металла на атом олова в ближайшем окружении атома Fe, находящегося в позиции 8(c), приводит к увеличению сдвига мёссбауэровской линии (позиция 8(c)(Sn) в табл. 1 и на рис. 2). В соответствии с установленным ранее в работе [11] ковалентным характером связи Sn(12(d))-Fe(8(c)) это, по-видимому, обусловлено переносом части электронов с орбиталей атома олова на 3d-орбитали шести атомов железа, находящихся в позициях 8(c), из ближайшего окружения атома Sn.

Известно (см., напр., [16]), что в металлах и интерметаллидах градиент электрического поля в области расположения ядер  $^{57}\text{Fe}$  создается в основном положительными зарядами, локализованными в узлах решетки, и электронами проводимости, в общем случае анизотропно распределенными в пространстве. Для соединения  $\beta$ -Mn, учитывая малость анизотропии сдвига Найта [17], можно считать, что вклад от локализованных зарядов решетки будет определяющим. В работе [9] мы провели расчет градиентов электрического поля в области расположения ядер  $^{57}\text{Fe}$  и сделали оценку значений квадрупольных смещений  $\varepsilon$  как для позиций 8(c), так и для позиций 12(d). Расчеты показали, что существенные различия в величинах квадрупольных смещений для этих позиций определяются в первую очередь топологией позиций. Что касается некоторого несовпадения расчетных значений квадрупольных смещений с экспериментальными данными, то оно объясняется приближением, которое не учитывает ковалентно-металлическую электронную структуру сплавов.

Только ковалентным характером связей атомов железа в позициях 12(d) с его окружением можно объяснить наблюдаемое изменение величины квадрупольного смещения  $\varepsilon$  при увеличении среднего расстояния  $\bar{r}_{12(d)}$ . Действительно, вклад от зарядов, локализованных в узлах решетки, с увеличением расстояний до соседних атомов должен уменьшаться, однако мы наблюдаем возрастание величины квадрупольного смещения (см. рис. 3). Ковалентные связи атомов железа в позициях 12(d) образуются в основном с атомами переходного металла (Fe и Mn), поскольку, как показано в работе [9], ковалентные связи Sn(12(d))-Fe(12(d)) ослаблены.

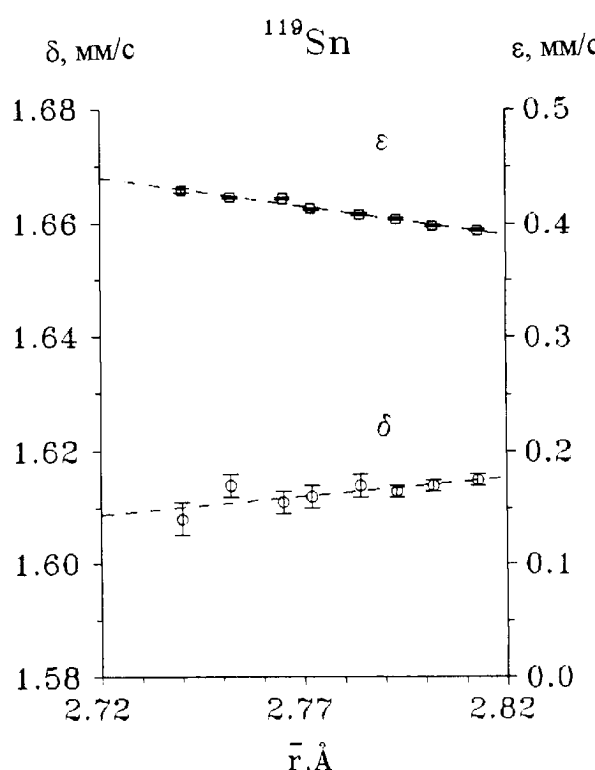


Рис. 4. Зависимости сдвига мёссбауэровской линии  $\delta$  и квадрупольного смещения  $\varepsilon$  компонент спектра ядер  $^{119}\text{Sn}$  от среднего радиуса 1-й координационной сферы

Несколько неожиданным является то, что квадрупольные смещения  $\varepsilon$  дублетов, относящихся к атомам Fe в позициях 8(c) и 8(c)(Sn), практически совпадают между собой. Это означает, что, во-первых, атомы Sn, Mn и Fe имеют близкие по величине значения эффективных зарядов ионных островов и, во-вторых, атом олова не вносит заметных искажений в симметрию расположения зарядов, окружающих атом железа в позиции 8(c), несмотря на сильную ковалентную связь  $\text{Sn}(12(d))\text{--Fe}(8(c))$ .

В работе [11] в результате анализа асимметрии квадрупольного дублета нами было показано, что градиент электрического поля в области расположения ядер  $^{119}\text{Sn}$  положителен, в то время как рассчитанный вклад от зарядов, локализованных в узлах решетки, оказался отрицательным и по величине меньше наблюдаемого в несколько раз. Таким образом, основным, преобладающим вкладом в градиент электрического поля на ядрах  $^{119}\text{Sn}$ , расположенных в позициях 12(d) структуры  $\beta$ -Mn, оказывается вклад от собственной электронной оболочки атома Sn. Существенное изменение квадрупольного смещения  $\varepsilon$  при изменении среднего расстояния до ближайших соседей (см. рис. 4) показывает, что этот вклад обусловлен в первую очередь электронами  $p$ -орбиталей, участвующими в ковалентных связях с окружающими атомами переходного металла, находящимися в позициях 8(c).

Незначительное ( $\sim 0,005$  мм/с) увеличение сдвига мёссбауэровской линии (см. рис. 4) связано с увеличением зарядовой плотности в области расположения ядра [18]. Если воспользоваться предложенным в [14] калибровочным уравнением, связывающим сдвиг  $\delta$  с количеством валентных  $5s$ - и  $5p$ -электронов, то можно с точностью до  $\sim 10\%$  оценить изменение  $\Delta n_{5s}$  эффективного числа  $5s$ -электронов при полном замещении атомов олова на атомы железа. Эта величина оказалась равной  $\Delta n_{5s} \cong 0,002$ .

В результате проведенных мёссбауэровских исследований на ядрах  $^{57}\text{Fe}$  и  $^{119}\text{Sn}$  можно прийти к основному выводу: электронная структура в сплавах системы  $\beta$ -Mn-Sn-Fe имеет в существенной мере ковалентный характер.

#### Литература

1. Nakai Y. // J. Phys. Soc. Japan. 1994. **63**. P. 775.
2. Nakai Y. // Ibid. 1996. **65**. P. 1787.
3. Андрианов А.В., Васильев А.Н., Виноградова А.С. и др. // ФММ. 1998. **85**, № 2. С. 70.
4. Kimball C.W., Sill L.R. // Phys. Rev. 1970. **B1**, No. 10. P. 3953.
5. Dunlop J.B., Williams J.M., Crangle J. // Physica B. 1977. **86–88**. P. 269.
6. Nishihara Y., Ogawa S., Waki S. // J. Phys. Soc. Japan. 1977. **42**, No. 3. P. 845.
7. Илюшин А.С., Кацнельсон А.А., Никанорова И.А. // Изв. вузов, Физика. 1981. **3**. С. 86.
8. Илюшин А.С., Никанорова И.А., Русаков В.С. и др. // Вестн. Моск. ун-та. Физ. Астрон. 1993. № 3. С. 52 (Moscow University Phys. Bull. 1993. No. 3. P. 47).
9. Виноградова А.С., Илюшин А.С., Никанорова И.А., Русаков В.С. // ФТТ. 1997. **39**, № 8. С. 1437.
10. Русаков В.С., Илюшин А.С., Виноградова А.С., Никанорова И.А. // Вестн. Моск. ун-та. Физ. Астрон. 1998. № 5. С. 57 (Moscow University Phys. Bull. 1998. No. 5).
11. Русаков В.С., Илюшин А.С., Виноградова А.С. и др. // Всерос. конф. «Применение ядерно-физических методов в магнетизме и материаловедении». Ижевск, 1998. С. 32.
12. Shoemaker C.B., Shoemaker D.P., Hopkins T.E., Yindepit S. // Acta Crystallogr. 1978. **B34**. P. 3573.
13. Cranshow T.E. // Advances in Mössbauer Spectroscopy / Ed. B.V. Thosar, P.K. Iyengar. Amsterdam; Oxford; New York, 1983. P. 217.
14. Балков О.А., Савицкий А.Ф. Препринт Ин-та физики им. Л. В. Киренского. № 568Ф. Красноярск, 1989.
15. Григорович В.К. Металлическая связь и структура металлов. М., 1988.
16. Чекин В.В. Мёссбауэрская спектроскопия сплавов железа, золота и олова. М., 1981.
17. Drain L.E. // Proc. Phys. Soc. 1966. **88**. P. 111.
18. Mössbauer Spectroscopy / Ed. D. P. E. Dickson, F. J. Berry. Cambridge University Press, 1986.

Поступила в редакцию  
13.03.98